

ISSN 0034-026X



РАЗВЕДКА И ОХРАНА НКВД

ОСНОВАН В 1931 ГОДУ

КОПИЯ
ВЕРНА



— 2019

<http://копиеверна.рф>



РАЗВЕДКА И ОХРАНА НЕДР

12 + декабрь + 2019

Основан в июле 1931 года

Ежемесячный
научно-технический
журнал

Учредители:
Министерство природных
ресурсов и экологии РФ,
Российское геологическое
общество

Главный редактор Е.А. Киселев

РЕДАКЦИОННАЯ КОЛЛЕГИЯ:
С.А. Аксенов, Е.М. Аксенов,
С.С. Варталян, А.А. Верчеба,
А.Ф. Карпузов, М.А. Комаров,
А.А. Кременецкий,
В.С. Круподеров, М.И. Логинов,
Г.А. Машковцев (зам. гл. редактора),
Н.А. Мац, Н.В. Межоловский,
Н.В. Милененко,
И.Г. Печекин (зам. гл. редактора),
А.А. Рогожин, Н.В. Соловьев,
Е.Г. Фаррахов, Л.Е. Чесалов,
Ю.М. Эричек

РЕДАКЦИОННЫЙ СОВЕТ:
В.Н. Бавлов, А.К. Климов,
А.М. Коломиец, И.Ф. Мигачев,
А.Ф. Морозов, О.В. Петров,
П.В. Садовник

АДРЕС РЕДАКЦИИ:

Старомонетный пер., 31,
Москва, 119017 Россия
тел.: (495) 950-30-25,
тел./факс (499) 238-15-67
Рук. редакционной группы
Титунова М.И.
Науч. редактор Лявданская Н.К.
Редактор Гусева И.В.
Редактор-консультант Маркова С.Б.
Верстка Полищук Н.В.
E-mail: rion60@mail.ru
<http://rion-journal.com>

Подписной индекс:

* по каталогу Роспечати
«Газеты. Журналы» — 84412

СОДЕРЖАНИЕ

ГЕОЛОГИЯ И МЕТОДИКА ПОИСКОВ И РАЗВЕДКИ МЕСТОРОЖДЕНИЙ	3
Соколов С.В., Марченко А.Г., Петров О.В., Шевченко С.С., Макарова Ю.В. Технология региональных геохимических работ в типовых ландшафтных обстановках территории РФ	
Галиахметова Л.Х., Николаев А.Г., Низамова А.В. Условия формирования жильного кварца Мало-Чипикетской зоны Платомского кварценосного района по результатам исследований флюидных включений	13
Печекин И.Г. К истории открытия уникального месторождения оптического флюорита Куликолон	17
ТЕХНИКА И ТЕХНОЛОГИЯ	
Горбатова Е.А., Пирогов Б.И., Раков Л.Т., Киселев А.А., Иоспа А.В., Чепрасов И.В. Оценка обогатимости хромовых руд Аккаргинского месторождения методами технологической минералогии	26
Борисов К.А., Третьяк А.А., Сидорова Е.В. Влияние вибраций на прочностные свойства буровых долот, армированных PDC	33
УПРАВЛЕНИЕ И ЭКОНОМИКА	
Аликин Э.А. Мониторинг геологической среды – вчера, сегодня, завтра	37
ОХРАНА НЕДР И ЭКОЛОГИЯ	
Павлова И.В., Домаренко В.А., Галактионов В.А., Журавлев В.Г. Прогнозирование природно-техногенных рисков в зоне влияния будущего Эльканского горнometаллургического комбината (Алданский щит, Республика Саха (Якутия))	41
Целюк Д.И., Целюк И.Н. Техногенное экологическое наследие горнодобывающего золоторудного комплекса Восточной Сибири	48
ХРОНИКА	
Научные чтения, посвященные столетию со дня рождения выдающегося геохимика и минералога, почётного члена Российской минералогической общества, профессора С.Т. Бадалова	58
К 90-летию Сергея Петровича Никонорова	60
Виктору Фомичу Череповскому – 90 лет	61
К 90-летию со дня рождения Рафаэля Федоровича Данковцева	62
Список статей, опубликованных в журнале в 2019 г.	63

КОПИЯ
ВЕРНА



Журнал «Разведка и охрана недр», 2019



Журнал по решению ВАК Министерства образования и науки РФ включен в «Перечень российских рецензируемых научных журналов, в которых должны быть опубликованы основные научные результаты диссертаций на соискание ученых степеней доктора и кандидата наук»

Подписано в печать с репродуцированного оригинал-макета 08.12.2019. Формат издания 60×90 1/8. Бумага мелованная.

Печать офсетная. Тираж до 1000 экз. Цвета свободная. Отпечатано ООО «РПЦ Офорт», 129110, г. Москва, проспект Мира, 69.

25–100 км². При ГХР-200 опробуются донные осадки устьевых частей водотоков I порядка и рыхлых отложений крупных эрозионных ложбин с бассейнами подсбора (способы рыхлого материала) 2–8 км²; на геохимически не охарактеризованных участках дополнительно отбираются сводные пробы из рыхлых отложений пространственно сближенных мелких эрозионных ложбин и нижних частей протяженных ровных склонов.

Резюмируя вышеизложенное отметим, что внедрение в практику ГХР-200 и ГХР-1000 предлагаемой технологии региональных геохимических работ приведет к уменьшению плотности опробования в 5–10 раз с соответствующим сокращением объемов опробования, что позволит с минимальными финансовыми потерями перейти от полуколичественных к количественным методам анализа и, как следствие, повысить надежность прогноза рудогенерирующих систем.

ЛИТЕРАТУРА

1. Временные методические указания по проведению геохимических поисков на закрытых и полузакрытых территориях / Под ред. А.Ф. Морозова, Б.К. Михайлова, Т.В. Чепкасовой, О.В. Петрова, А.А. Красменецкого, С.М. Александра / С.В. Соколов, А.Г. Марченко, С.С. Шевченко, О.Н. Симонов и др. — СПб.: ВСЕГЕИ, 2005. — 98 с.
2. Инструкция по геохимическим методам поисков рудных месторождений. — М.: Недра, 1983. — 191 с.
3. Методические рекомендации по литохимическим методам поиска рудных месторождений по потокам рассеяния. — М.: ИМГРЭ, 1992. — 164 с.
4. Патент РФ № 2330259 от 07.08.2006. Геохимический способ поиска месторождений полезных ископаемых / О.В. Петров, С.С. Шевченко, С.В. Соколов и др.
5. Соколов, С.В. Задачи повышения эффективности геохимических работ поисковой геохимии. Сб. ст. Прикладная геохимия. — Вып. 8 [и 2 в томах]. Проблемы поисковой геохимии. — Т. 2. Опыт геохимических поисков / С.В. Соколов, С.С. Шевченко. — М.: ИМГРЭ, 2003. — С. 3–15.
6. Соколов, С.В. Структуры аномальных геохимических полей и прогноз оруденения / С.В. Соколов. — СПб: Наука, 1998. — 154 с.
7. Соколов, С.В. Метод анализа сверхтонкой фракции: результаты, эффективность / С.В. Соколов, Ю.В. Макарова, Ю.Ю. Юрченко // Разведка и охрана недр. — 2013. — № 8. — С. 54–58.
8. Соколов, С.В. Геохимические поиски месторождений в областях палитий площадных кор выветривания и озерно-аллювиальных отложений повышенной мощности (на примере Пионер-Покровского сургутского района) / С.В. Соколов, Н.Г. Власов, Л.П. Курник, Ю.Ю. Юрченко // Разведка и охрана недр. — 2016. — № 1. — С. 15–22.
9. Соколов, С.В. Состояние, проблемы и совершенствование нормативно-методического обеспечения разномасштабных геохимических работ / С.В. Соколов, С.С. Шевченко, И.И. Никитченко // Разведка и охрана недр. — 2019. — № 1. — С. 15–22.
10. Соколов, С.В. Оптимизация сети и плотности опробования при проведении площадных геохимических работ как фактор повышения надежности прогноза / С.В. Соколов, А.Г. Марченко // Разведка и охрана недр. — 2019. — № 8. — С. 19–28.
11. Справочник по геохимическим поискам полезных ископаемых / А.П. Оллоков, Ф.Я. Архипов, В.А. Бугров и др. — М.: Недра, 1990. — 335 с.
12. Хорин, Г.И. Карты геохимических аномалий и полей и геохимическая основа карт прогноза по данным региональных литохимических съемок по потокам рассеяния / Г.И. Хорин, И.Ф. Бровчук, Я.Г. Бородин // Принципы и методы составления геохимических карт. — Владивосток, 1981.

© Коллектив авторов, 2019

Соколов Сергей Валерьевич // Sergey_Sokolov@vsegei.ru
Марченко Алексей Григорьевич // a-marchenko@yandex.ru
Петров Олег Владимирович // O.Petrov@vsegei.ru
Шевченко Сергей Семёнович // Sergey_Shevchenko@vsegei.ru
Макарова Юлия Викторовна // Yuliya_Makarova@vsegei.ru

Галиахметова Л.Х. (ФГУП «ЦНИИгеолнеруд»),
Николаев А.Г., Низамова А.В. (Казанский
(Приволжский) федеральный университет)

УСЛОВИЯ ФОРМИРОВАНИЯ ЖИЛЬНОГО КВАРЦА МАЛО-ЧИПИКЕТСКОЙ ЗОНЫ ПАТОМСКОГО КВАРЦЕНОСНОГО РАЙОНА ПО РЕЗУЛЬТАТАМ ИССЛЕДОВАНИЙ ФЛЮИДНЫХ ВКЛЮЧЕНИЙ

Проведено исследование флюидных включений жильного кварца Мало-Чипикетской зоны Патомского кварценосного района термобарогеохимическими методами. Установлено, что в минералообразовании участвовали флюиды водно-углекислотного состава с примесями азота и метана. В солевом составе растворов первичных включений присутствуют хлориды лития, натрия и калия. Вторичных — хлорид калия. Результаты исследований свидетельствуют об эпигенетической кварцево-жильной минерализации, формирование которой связано с деятельностью глубинных флюидных систем и выделением кремнезема при метаморфизме терригенно-осадочных пород. Ключевые слова: кварцево-жильная минерализация, флюидные включения, гомогенизация, криометрия, рамановская спектроскопия.

Galiakhmetova L.Kh. (TSNIIGeolnerud), Nikolaev A.G., Nizamova A.V. (Kazan Federal University)

CONDITIONS OF FORMATION OF THE VIEN QUARTZ OF THE MALO-CHIPIKETSKY ZONE OF THE PATOM QUARTZ AREA ON THE RESULTS OF RESEARCHES OF FLUID INCLUSIONS

The fluid inclusions of vein quartz of the Malo-Chipiketsky zone of the Patom quartz area were studied using thermobarogeochimical methods. It was established that fluids of water-carbon dioxide composition with impurities of nitrogen and methane participated in the mineral formation. The composition of the inclusion solutions was studied by the thermocryometric method. The salt composition of the solutions of primary inclusions contains lithium, sodium and potassium chlorides, and the secondary ones — potassium chloride. The research results indicate epigenetic quartz-vein mineralization, the formation of which is associated with the activity of deep fluid systems and the release of silica during the metamorphism of terrigenous-sedimentary rocks. Keywords: quartz-vein mineralization, fluid inclusions, homogenization, cryometry, Raman spectroscopy.

Объект исследований

Патомский кварценосный район охватывает значительную часть Прибайкальской кварценосной провинции, с южной стороны основные перспективы Сибири на химическое сырье (Е.М. Аксенов и др., 2015). Патомский район характеризуется высокой концентрацией проявлений кварцево-жильной минерализации, связанный с метаморфогенно-гидротермальной формацией, сформированной в палеозойское время. Кварцевые

жилы локализуются преимущественно в южной части района, в пределах Мало-Чипикетской кварценосной зоны, ограниченной с севера Верхне-Хайвергинским разломом, с юга — Верхне-Патомской системой нацвигов (Н.Г. Былтаева и др., 2018).

В пределах Мало-Чипикетской минерагенической зоны жиломещающими являются образования, относимые к хайвергинской и бугарихтинской свитам балаганахской подсерии среднего риффа, преобладающими породами которых являются кварциты, гнейсы и кристаллические сланцы, подчиненное распространение имеют амфиболиты, амфиболовые сланцы и филлониты. Петрографо-петрохимическое изучение пород показало, что исходные терригенно-осадочные породы преобразованы в условиях зеленосланцевой и эпидот-амфиболитовой фации. Практически все изученные породы несут следы динамометаморфических преобразований: имеют полосчато-линзовидный и пятнистый облик, микропорфирокластические обособления, повышенное содержание углеродистого вещества.

На площади выявлено месторождение Мало-Чипикетское, представленное жилой 2821, и многочисленные проявления безрудного кварца, требующие оценки. Кварцевое сырье жилы 2821 характеризуется повышенной химической чистотой. Коэффициент светопропускания кварца высокий, колеблется в интервале 72–81 %. По содержанию «высокотемпературной» воды (22–23 мкг/г) кварцевый концентрат жилы 2821 соответствует сорту КГО-3 и выше (ТУ 5726-002-11496665-97). По результатам технологических испытаний гранулированный кварц жилы 2821 пригоден для использования в производстве прозрачного кварцевого стекла для изделий электронной промышленности.

Кварцевые жилы, выявленные в пределах Мало-Чипикетской зоны, преимущественно линзовидно-, клиновидные с частыми раздувами и пережимами, образующими будинообразные формы. Жилы несколько отличаются по масштабам, наиболее крупные из них при средней мощности 3–3,5 м имеют протяженность 120–130 м. Мощность мелких жил в раздувах 2–3 м, редко до 5 м, общая длина по простиранию 10–15 м. Жильные зоны представлены сближенными кварцевыми телами. Контакты с вмещающими породами согласные, преимущественно погодные с падением в северных румбах. Жилы сложены тремя основными типами кварца: неравномернозернистым динамометаморфизованным, средне-мелкозернистым гранулированным и гигантозернистым первично кристаллическим кварцем (Л.Х. Галиахметова и др., 2019). Жилы гранулированного кварца приурочены преимущественно к кварцо-гнейсовому комплексу бугарихтинской свиты и сложены белым, светло-серым кварцем с прозрачными и полупрозрачными зернами близкой к изометрической форме размером 1–5 мм. Жилы неравномернозернистого динамометаморфизованного кварца развиты в основном в гнейсо-углеродисто-сланцевом комплексе хайвергинской

свиты и сложены светло-серым кварцем с прозрачными и полупрозрачными зернами неправильной формы размером от 1–10 мм до 2–3 см. Жилы гигантозернистого первично кристаллического кварца встречаются в обоих стратиграфических подразделениях риффа и сложены сливным кварцем с неясными очертаниями индивидов и неоднородными по прозрачности зернами.

Основной задачей данной работы являлось определение условий формирования жильного кварца Мало-Чипикетской кварценосной зоны, химического состава минералообразующих растворов, выяснение источников флюидов и выявление возможных отличий термобарогеохимических параметров выделенных типов кварца.

Методы исследований

Изучение флюидных включений проводилось методами гомогенизации и криометрии с использованием термостолика THMS600 фирмы Linkam, позволяющего проводить измерения температуры фазовых переходов внутри флюидных включений при температурах от –196 °С до 600 °С. Состав газовой фазы включений оценивался методом спектроскопии комбинированного рассеяния на конфокальном рамановском микроспектрометре inVia Quantor. Спектры снимались при комнатной температуре в диапазоне волн 100–4500 см^{–1}. Контроль режимов и обработка данных производилась в программе Wite 5. В работе был использован лазер с длиной волны 532 нм (мощность лазера 500 мВт). Препаратором для изучения служили двухсторонние полированные пластинки кварца толщиной 0,3–0,5 мм. Всего проанализировано 19 полированных пластинок, изготовленных из образцов кварца, наиболее полно характеризующих структурно-текстурные особенности выделенных типов.

Результаты исследований

Все изученные включения представляют собой двухфазовые вакуоли, содержащие водный раствор и газовую фазу (жидкость+газ). Следует отметить, что для кварца изучаемой площади наиболее характерно содержание двух- (жидкость+газ) и однофазных (жидкость/газ) включений. Трехфазовые включения (жидкость+газ+твердая фаза) крайне редкие, при оптико-микроскопическом изучении более 500 шлифов кварца были обнаружены всего несколько экземпляров данного типа.

Включения преимущественно неправильной, вытянутой формы (рисунок, а). Размеры включений варьируют от 8–10 до 60–80 мкм, преобладают включения размером 25–30 мкм. Газовая фаза включений занимает от 10 до 30 % объема вакуоли.

В процессе определения температуры гомогенизации включений возникли определенные сложности — при нагревании включений выделялся газовый пузырек, и в результате превышения внутреннего давления над прочностью стекла вакуоли включение лопалось и становилось темным с керните кремкий (рисунок, б), т.е. включение прекращало эластичность гомогенизации.

жилы локализуются преимущественно в южной части района, в пределах Мало-Чипикетской кварценосной зоны, ограниченной с севера Верхне-Хайвергинским разломом, с юга — Верхне-Патомской системой надвигов (Н.Г. Быдтаева и др., 2018).

В пределах Мало-Чипикетской минерагенической зоны жиловмещающими являются образования, относимые к хайвергинской и бугарихтинской свитам баяланахской подсерии среднего рифея, преобладающими породами которых являются кварциты, гнейсы и кристаллические сланцы, подчиненное распространение имеют амфиболиты, амфиболовые сланцы и филлониты.Петрографо-петрохимическое изучение пород показало, что исходные территенно-осадочные породы преобразованы в условиях зеленосланцевой и эпилит-амфиболитовой фации. Практически все изученные породы несут следы динамометаморфических преобразований: имеют полосчато-линзовидный и пятнистый облик, микропорфирокластические обособления, повышенное содержание углеродистого вещества.

На площади выявлено месторождение Мало-Чипикетское, представленное жилой 2821, и многочисленные проявления безрудного кварца, требующие оценки. Кварцевое сырье жилы 2821 характеризуется повышенной химической чистотой. Коэффициент светопропускания кварца высокий, колеблется в интервале 72–81 %. По содержанию «высокотемпературной» воды (22–23 мкг/г) кварцевый концентрат жилы 2821 соответствует сорту КГО-3 и выше (ТУ 5726-002-11496665-97). По результатам технологических испытаний гранулированный кварц жилы 2821 пригоден для использования в производстве прозрачного кварцевого стекла для изделий электронной промышленности.

Кварцевые жилы, выявленные в пределах Мало-Чипикетской зоны, преимущественно линзовидно-, клиновидные с частыми раздувами и пережимами, образующими будинообразные формы. Жилы несколько отличаются по масштабам, наиболее крупные из них при средней мощности 3–3,5 м имеют протяженность 120–130 м. Мощность мелких жил в раздувах 2–3 м, редко до 5 м, обычная длина по простиранию 10–15 м. Жильные зоны представлены сближенными кварцевыми телами. Контакты с вмещающими породами согласные, преимущественно пологие с падением в северных румбах. Жилы сложены тремя основными типами кварца: неравномернозернистым динамометаморфизованным, средне-мелкозернистым транулированным и гигантозернистым первично кристаллическим кварцем (Л.Х. Галиахметова и др., 2019). Жилы гранулированного кварца приурочены преимущественно к кварцito-гнейсовому комплексу бугарихтинской свиты и сложены белым, светло-серым кварцем с прозрачными и полупрозрачными зернами близкой к изометричной формы размером 1–5 мм. Жилы неравномернозернистого динамометаморфизованного кварца развиты в основном в гнейсо-углеродисто-сланцевом комплексе хайвергинской

свиты и сложены светло-серым кварцем с прозрачными и полупрозрачными зернами неправильной формы размером от 1–10 мм до 2–3 см. Жилы гигантозернистого первично кристаллического кварца встречаются в обоих стратиграфических подразделениях рифея и сложены сливным кварцем с неясными очертаниями индивидов и неоднородными по прозрачности зернами.

Основной задачей данной работы являлось определение условий формирования жильного кварца Мало-Чипикетской кварценосной зоны, химического состава минералообразующих растворов, выяснение источников флюидов и выявление возможных отличий термобарохимических параметров выделенных типов кварца.

Методы исследований

Изучение флюидных включений проводилось методами гомогенизации и криометрии с использованием термостолика THMS600 фирмы Linkam, позволяющего проводить измерения температуры фазовых переходов внутри флюидных включений при температурах от –196 °С до 600 °С. Состав газовой фазы включений оценивался методом спектроскопии комбинационного рассеяния на конфокальном рамановском микроспектрометре inVia Qontor. Спектры снимались при комнатной температуре в диапазоне волн 100–4500 см^{–1}. Контроль режимов и обработка данных производилась в программе Wire 5. В работе был использован лазер с длиной волны 532 нм (мощность лазера 500 мВт). Препаратом для изучения служили двухсторонние полированные пластинки кварца толщиной 0,3–0,5 мм. Всего проанализировано 19 полированных пластинок, изготовленных из образцов кварца, наиболее полно характеризующих структурно-текстурные особенности выделенных типов.

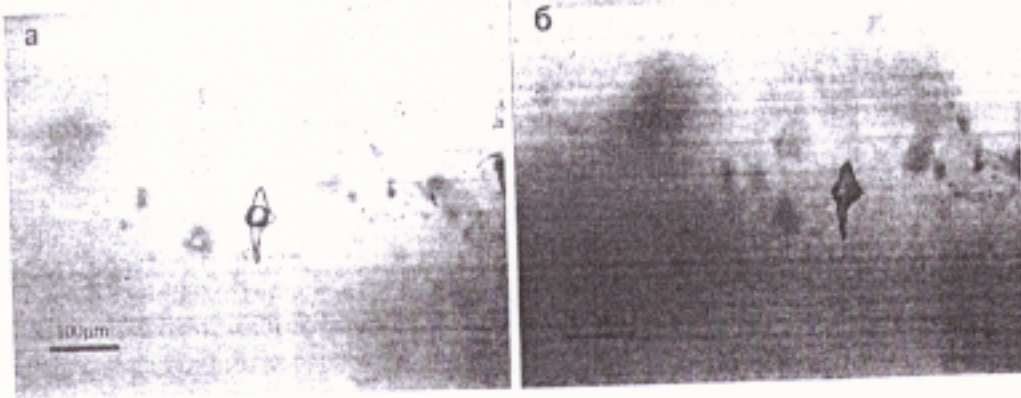
Результаты исследований

Все изученные включения представляют собой двухфазовые вакуоли, содержащие водный раствор и газовую fazу (жидкость+газ). Следует отметить, что для кварца изучаемой площади наиболее характерно содержание двух- (жидкость+газ) и однофазовых (жидкость/газ) включений. Трехфазовые включения (жидкость+газ+твердая фаза) крайне редкие, при оптико-микроскопическом изучении более 500 шлифов кварца были обнаружены всего несколько включений данного типа.

Включения преимущественно неправильной, вытянутой формы (рисунок, а). Размеры включений варьируют от 8–10 до 60–80 мкм, преобладают включения размером 25–30 мкм. Газовая фаза включений занимает от 10 до 30 % объема вакуоли.

В процессе определения температуры гомогенизации включений возникли определенные сложности — при нагревании увеличивался газовый пузырек, и в результате превышения внутреннего давления над прочностью стекла вакуоли включение лопалось и становилось темным с черной каемкой (рисунок, б), то включения декомпактируют, не достигая гомогенизации.





Флюидное включение вытянутой формы с газовым пузырьком при температуре нагрева 25 °С [a] и 196 °С [b]. Обр. 304-1, жила 2821

Только в двух образцах удалось зафиксировать температуру гомогенизации вещества, которое при понижении температуры вернулось в исходное гетерогенное состояние. Результаты исследований методом гомогенизации отражены в табл. 1.

Большинство исследованных включений (63 %) декрепитируют в температурном интервале 200–300 °С. Максимальная температура декрепитации зафиксирована в обр. 217 и составила 339 °С. Учитывая тот факт, что включение декрепитировало до наступления гомогенизации становится очевидным, что температура гомогенизации превышает 339 °С.

Газовый состав включений изучался методом рамановской спектроскопии. По ее данным в составе газовой фазы включений преобладает CO₂ и N₂, присутствует O₂, в единичных включениях отмечается присутствие метана (табл. 2) (Burke, 2001).

Как известно, при повышении температуры от 50 до 350 °С наблюдается быстрый рост средних содержаний CO₂ в гидротермальных флюидах, который достигает своего максимума в районе 350 °С (Г.Б. Наумов и др., 2011). Кроме того, освобождение углекислоты может быть связано с преобразованием осадочных пород в процессах регионального метаморфизма. При этом в кварцах метаморфических пород консервируются включения, где давление CO₂ достигает высоких значений. Можно полагать, что высокое внутреннее давление флюидных включений, приводящее к их декрепитации до стадии гомогенизации, отчасти связано с высоким давлением CO₂ во включениях. Кроме

того, повышению давления во включениях способствовали вторичные динамометаморфические процессы, которые воздействовали на данный кварц уже после полного окончания этапа минералообразования.

Углеродистое вещество, широко распространенное на изучаемой площади в составе уgliсто-серийт-кварцевых сланцев и филлитов, в процессе метаморфизма способствовало обогащению флюидов метаном и азотом.

Состав растворов включений изучался термокриометрическим методом. По данным термокриометрии температура эвтектики в первичных включениях изменяется от –82 °С до –92 °С, что свидетельствует о сложном солевом составе растворов. Вероятно, в составе флюида присутствуют хлориды лития, калия и натрия (А.Н. Киргинцев и др., 1972; А.С. Борисенко, 1977). Во вторичных включениях температура эвтектики жидкой фазы составляет –10 – (–11) °С, что свидетельствует о присутствии хлоридов калия в составе растворов (А.С. Борисенко, 1977). По температуре плавления льда установлено, что концентрация KCl в растворе изменяется от 4 до 8 масс. % (Э. Реддер, 1987; Ф.П. Мельников и др., 2008).

Таблица 1
Результаты определения температуры гомогенизации флюидных включений в кварце
Мало-Чипикетской зоны

№ п/п	Номер пробы	Интервал декрепитации (+, °С)	Температура гомогенизации (+, °С)	Краткое описание образца
1	304-1	179–255	—	
2	304-3	221–325	—	
3	304-5	184–246	—	
4	520	—	212	
5	164	198–265	—	
6	522	199–207	—	
7	354	250–325	—	
8	217	226–339	—	
9	1714	248–330	—	
10	1452	169–273	—	
11	351	256–308	—	
12	349	156–309	—	
13	960-1	—	219–248	средне-мелкоэзернистый гранулированный кварц
14	201	201–310	—	
15	124	207–315	—	
16	1458-3	228–324	—	
17	056	197–335	—	
18	251	173–276	—	
гигантозернистый первично-кристаллический кварц				
неоднородно-зернистый метаморфизованный кварц				
КОНИЯ ВЕРНА				



